

Lichteffizienz:

86 Lumen/Watt

Lichtstärke: 2463 lm

CRI:

CRI: 81,7

Leuchtdichte: 858 cd

Leistung: 28,5 W

Farbtemperatur:

2873 K

Powerfaktor: 0,99



Bestellnummer:

LPQD301302

Messung erstellt:

10.06.2020 08:23:27

Beschreibung:

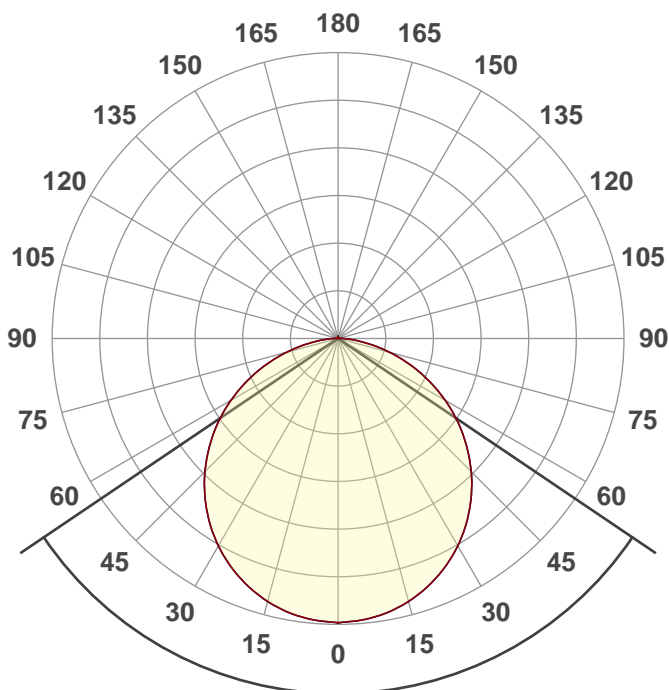
LED Anbaupanel - quad. -

EDS Optik - IP20 - 30W -

3000K - 2250lm - 220-240V -

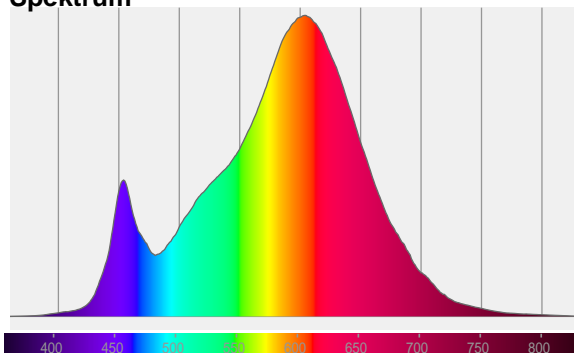
Netzgerät: 700mA - dimmbar

- ORTUS

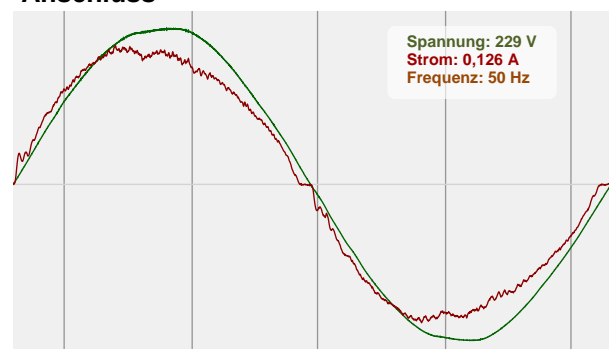


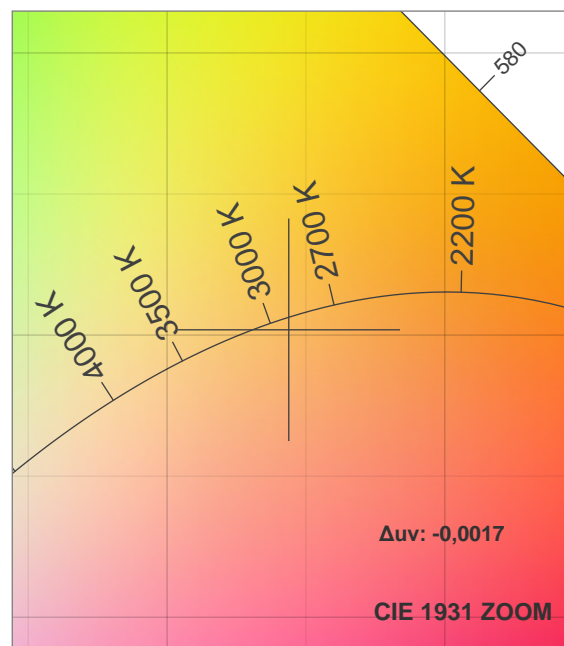
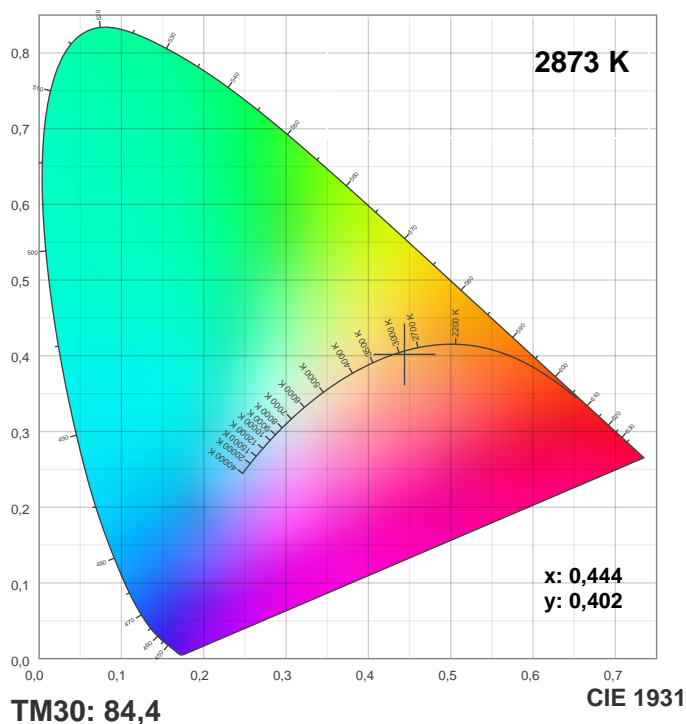
Abstrahlwinkel **111,9°**

Spektrum

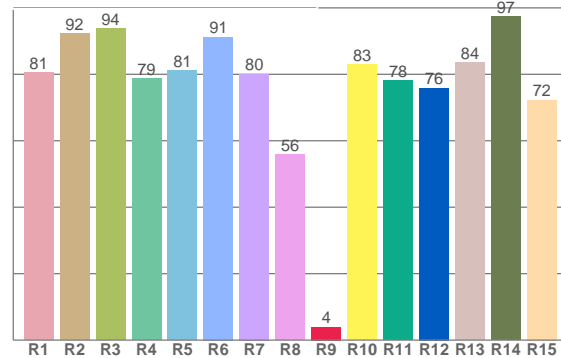
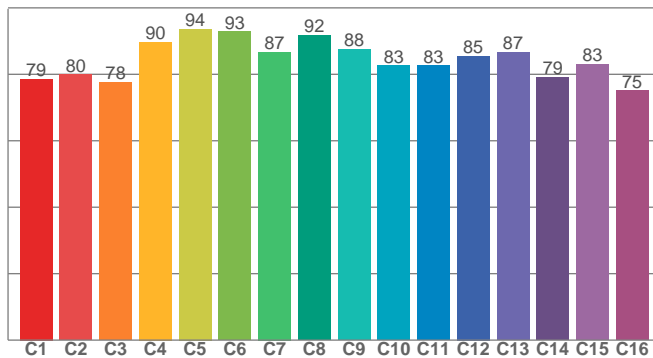


Anschluss





CRI: 81,7 (R1-R8)



CRI R-Werte, nur R1-R8 werden zur Berechnung des endgültigen CRI-Wertes verwendet

| R1   | R2   | R3   | R4   | R5   | R6   | R7   | R8   | R9  | R10  | R11  | R12  | R13  | R14  | R15  |
|------|------|------|------|------|------|------|------|-----|------|------|------|------|------|------|
| 80,5 | 92,3 | 93,8 | 78,8 | 81,0 | 91,2 | 80,1 | 55,9 | 4,0 | 82,9 | 78,1 | 75,9 | 83,5 | 97,3 | 72,3 |

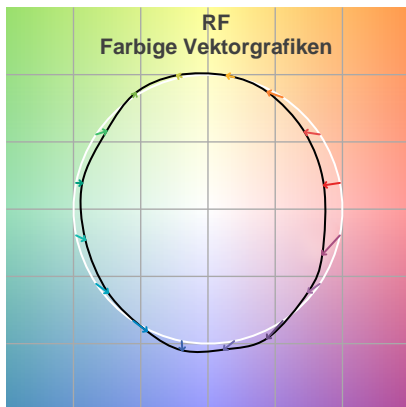
TM30 C-Werte, 16 eingelagerte Werte von insgesamt 99 C-Werten

| C1   | C2   | C3   | C4   | C5   | C6   | C7   | C8   | C9   | C10  | C11  | C12  | C13  | C14  | C15  | C16  |
|------|------|------|------|------|------|------|------|------|------|------|------|------|------|------|------|
| 78,6 | 79,9 | 77,6 | 89,8 | 93,7 | 92,8 | 86,7 | 91,8 | 87,5 | 82,6 | 82,6 | 85,5 | 86,6 | 79,0 | 82,9 | 75,0 |

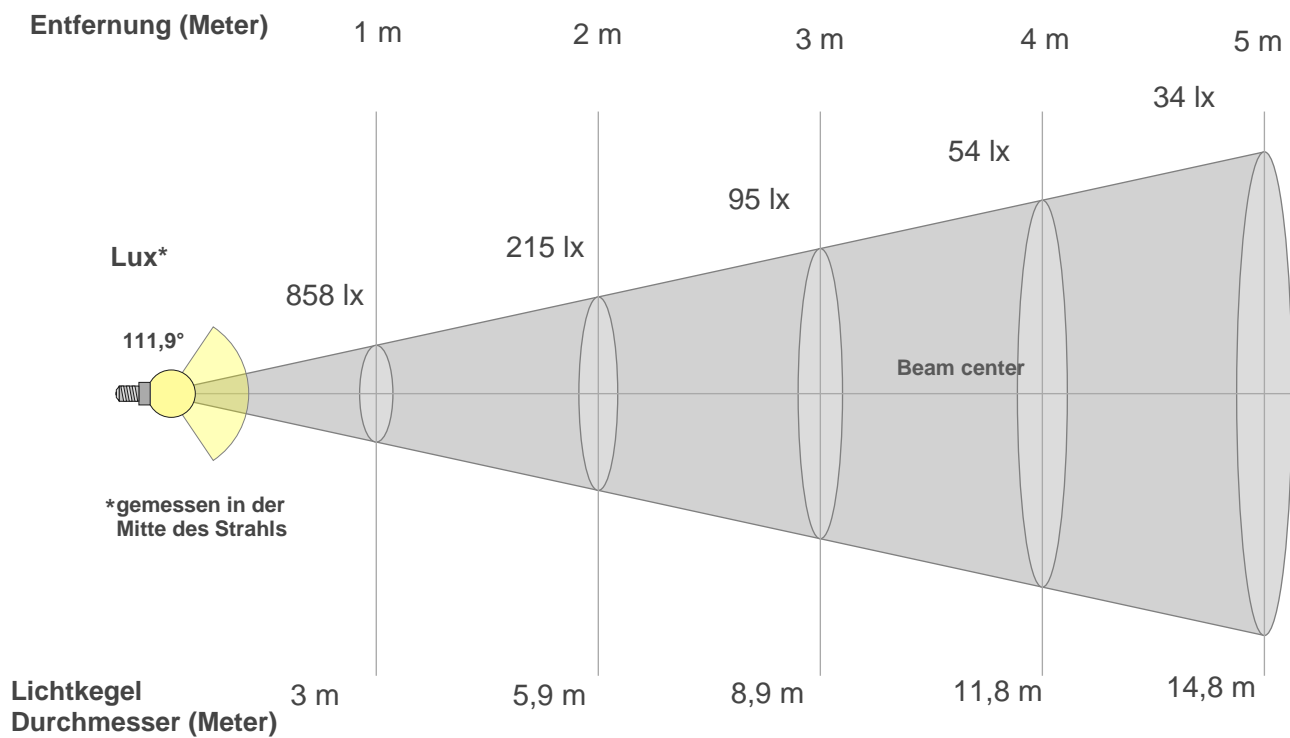
## Farbparameter

| Farbtemperatur<br>CCT | CRI-Wert rendering<br>CRI | Rotanteil R9<br>CRI R9 | Farbtreue<br>TM30 Rf | Farbbereich<br>TM30 Rg |
|-----------------------|---------------------------|------------------------|----------------------|------------------------|
| 2873 K                | 81,7                      | 4,0                    | 84,4                 | 95,1                   |

## TM30 Details



## Lichtstrahl Details



## Strahlintensitäten von 1-20m

| 1m    | 2m    | 3m   | 4m   | 5m   | 6m   | 7m   | 8m   | 9m   | 10m | 3,3m   | 6,6m   | 9,8m  | 13,1m | 16,4m | 19,7m | 23m   | 26,2m | 29,5m | 32,8m |
|-------|-------|------|------|------|------|------|------|------|-----|--------|--------|-------|-------|-------|-------|-------|-------|-------|-------|
| 858lx | 215lx | 95lx | 54lx | 34lx | 24lx | 18lx | 13lx | 11lx | 9lx | 79,8lx | 19,9lx | 8,9lx | 5lx   | 3,2lx | 2,2lx | 1,6lx | 1,2lx | 1lx   | 0,8lx |

## Glare Evaluation According to UGR

|   |     |   |      |      |      |      |   |      |      |      |      |
|---|-----|---|------|------|------|------|---|------|------|------|------|
| p Decke   |     | 70  | 70   | 50   | 50   | 30   | 70  | 70   | 50   | 50   | 30   |
| p Wand  |     | 50  | 30   | 50   | 30   | 30   | 50  | 30   | 50   | 30   | 30   |
| p Boden   |     | 20  | 20   | 20   | 20   | 20   | 20  | 20   | 20   | 20   | 20   |
| Raumgrößen<br>X      Y  |     | Blickrichtung rechtwinklig zur<br>Lampenachse |      |      |      |      | Blickrichtung parallel zur<br>Lampenachse |      |      |      |      |
| 2H  | 2H  | 20,6  | 21,9 | 20,9 | 22,2 | 22,4 | 20,6                                      | 21,9 | 20,9 | 22,2 | 22,4 |
|   | 3H  | 22,1  | 23,4 | 22,5 | 23,7 | 23,9 | 22,1                                      | 23,4 | 22,5 | 23,7 | 23,9 |
|   | 4H  | 22,7  | 23,9 | 23,1 | 24,2 | 24,5 | 22,7                                      | 23,9 | 23,1 | 24,2 | 24,5 |
|   | 6H  | 23,3  | 24,3 | 23,6 | 24,6 | 25,0 | 23,3                                      | 24,3 | 23,6 | 24,6 | 25,0 |
|   | 8H  | 23,4  | 24,4 | 23,7 | 24,7 | 25,2 | 23,4                                      | 24,4 | 23,7 | 24,7 | 25,2 |
|   | 12H | 23,5  | 24,5 | 23,9 | 24,8 | 25,3 | 23,5                                      | 24,5 | 23,9 | 24,8 | 25,3 |
| 4H  | 2H  | 21,2  | 22,5 | 21,7 | 22,7 | 23,0 | 21,2                                      | 22,5 | 21,7 | 22,7 | 23,0 |
|   | 3H  | 23,0  | 24,0 | 23,4 | 24,4 | 24,8 | 23,0                                      | 24,0 | 23,4 | 24,4 | 24,8 |
|   | 4H  | 23,7  | 24,6 | 24,1 | 25,0 | 25,6 | 23,7                                      | 24,6 | 24,1 | 25,0 | 25,6 |
|   | 6H  | 24,3  | 25,1 | 24,8 | 25,5 | 25,9 | 24,3                                      | 25,1 | 24,8 | 25,5 | 25,9 |
|   | 8H  | 24,5  | 25,3 | 25,0 | 25,6 | 26,0 | 24,5                                      | 25,3 | 25,0 | 25,6 | 26,0 |
|   | 12H | 24,6  | 25,3 | 25,1 | 25,7 | 26,2 | 24,6                                      | 25,3 | 25,1 | 25,7 | 26,2 |
| 8H  | 4H  | 24,0  | 24,8 | 24,5 | 25,2 | 25,6 | 24,0                                      | 24,8 | 24,5 | 25,2 | 25,6 |
|   | 6H  | 24,7  | 25,3 | 25,2 | 25,8 | 26,4 | 24,7                                      | 25,3 | 25,2 | 25,8 | 26,4 |
|   | 8H  | 25,0  | 25,6 | 25,5 | 26,1 | 26,7 | 25,0                                      | 25,6 | 25,5 | 26,1 | 26,7 |
|   | 12H | 25,3  | 25,7 | 25,8 | 26,2 | 26,8 | 25,3                                      | 25,7 | 25,8 | 26,2 | 26,8 |
| 12H   | 4H  | 24,0  | 24,7 | 24,5 | 25,1 | 25,6 | 24,0                                      | 24,7 | 24,5 | 25,1 | 25,6 |
|   | 6H  | 24,8  | 25,3 | 25,3 | 25,9 | 26,5 | 24,8                                      | 25,3 | 25,3 | 25,9 | 26,5 |
|   | 8H  | 25,1  | 25,6 | 25,7 | 26,1 | 26,7 | 25,1                                      | 25,6 | 25,7 | 26,1 | 26,7 |
| Variation der Beobachterposition für den Leuchtenabstand S        |     |   |      |      |      |      |   |      |      |      |      |
| S = 1.0H  |     | 0,1 / -0,1                                    |      |      |      |      | 0,1 / -0,1                                |      |      |      |      |
| S = 1.5H  |     | 0,1 / -0,2                                    |      |      |      |      | 0,1 / -0,2                                |      |      |      |      |
| S = 2.0H  |     | 0,4 / -0,5                                    |      |      |      |      | 0,4 / -0,5                                |      |      |      |      |
| Standard-Tabelle  |     | n/a   |      |      |      |      | n/a                                       |      |      |      |      |
| Korrektur<br>Zusammenfassung                                      |     | n/a   |      |      |      |      | n/a                                       |      |      |      |      |
| Korrigierte Blendungsindizes bezogen auf 2463 lm Gesamtlichtstrom |     |   |      |      |      |      |   |      |      |      |      |